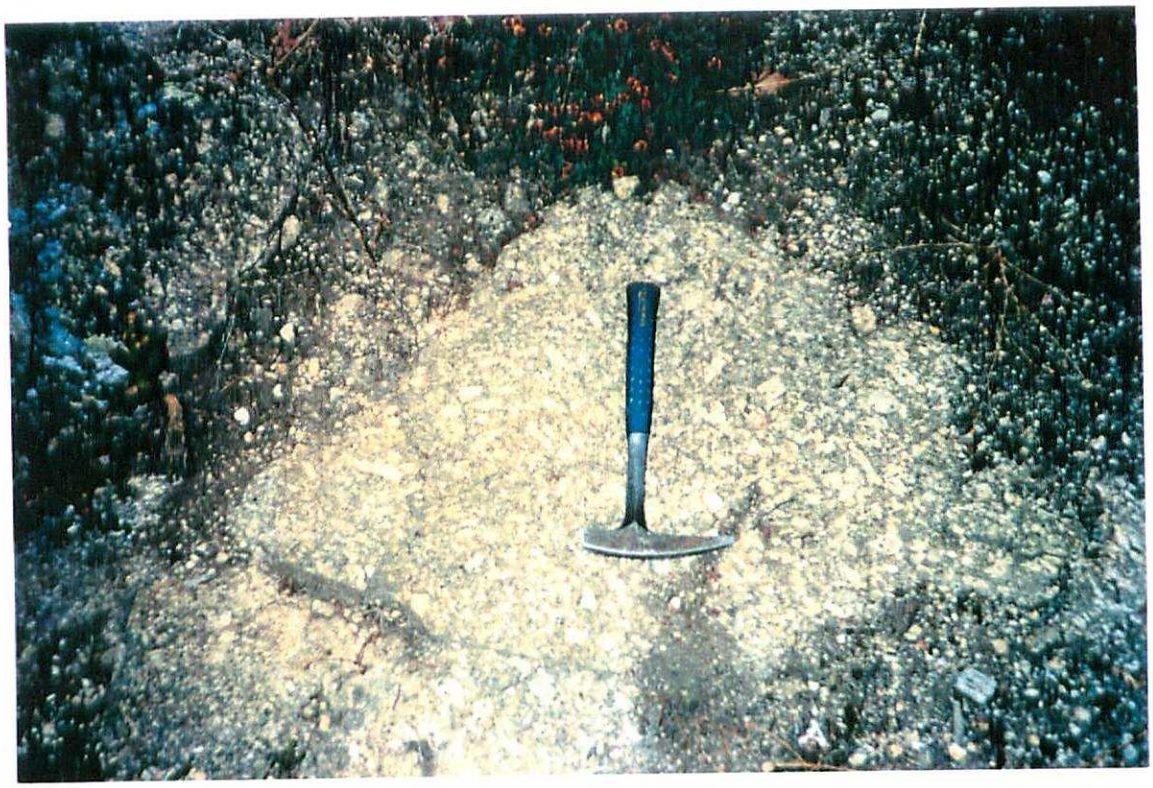


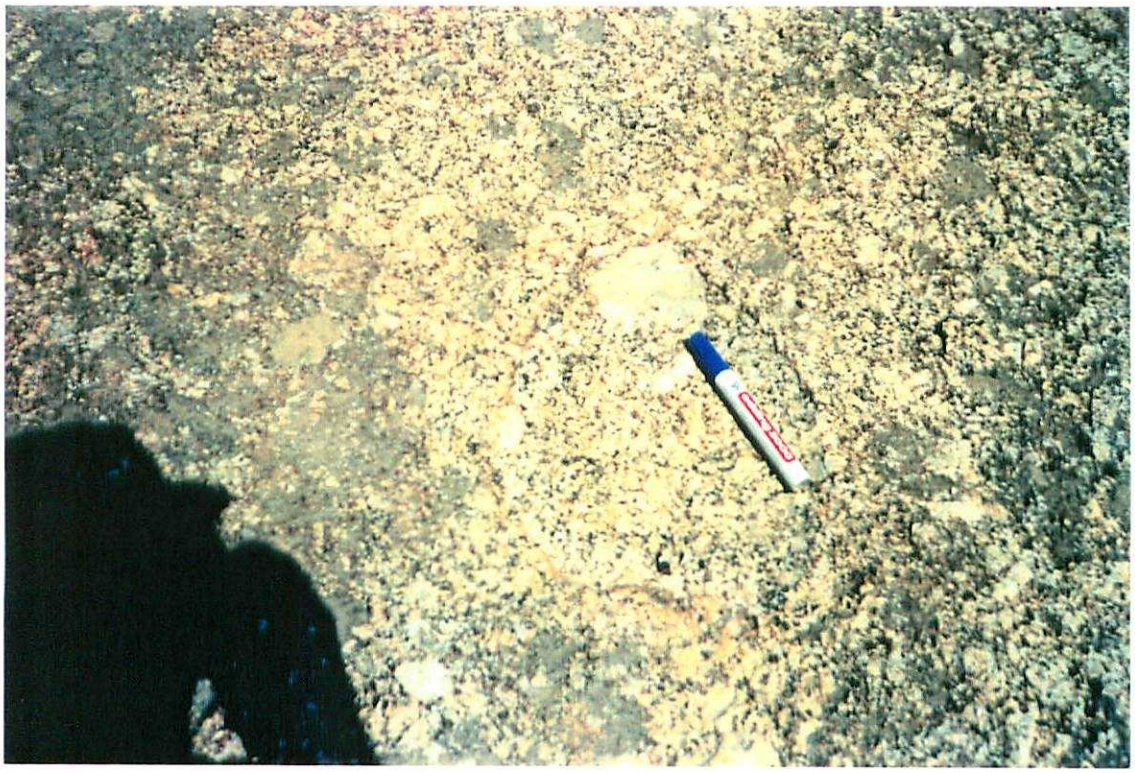
AI-9201.

Detalle de megacristales de feldespato potásico, sin orientación preferente, en zonas poco deformadas de los monzogranitos y granodioritas tipo "Yuste" (Sur de Talaveruela).



AI-9202.

Contraste de una masa leucocrática, a modo de pasillo o enclave, de granito sin megacristales (izquierda de la foto) y el granitoide porfídico, tipo "Yuste" , con megacristales subautomórficos de feldespato potásico (derecha de la foto).



AI-9203.

Detalle del granitoide porfídico de la foto anterior. Muchos de los megacristales de feldespato potásico han perdido casi totalmente su carácter automórfico. (Al Este de Valverde de la Vera).



AI-9204.

Puente romano sobre la Garganta de Alardos. Al fondo, escarpes de masas aplíticas difusas y más o menos irregulares.



AI-9205.

Roca de tipo migmatítico-nebulítico, en la que los porcentajes de neosoma y paleosoma varían dentro de amplios márgenes.



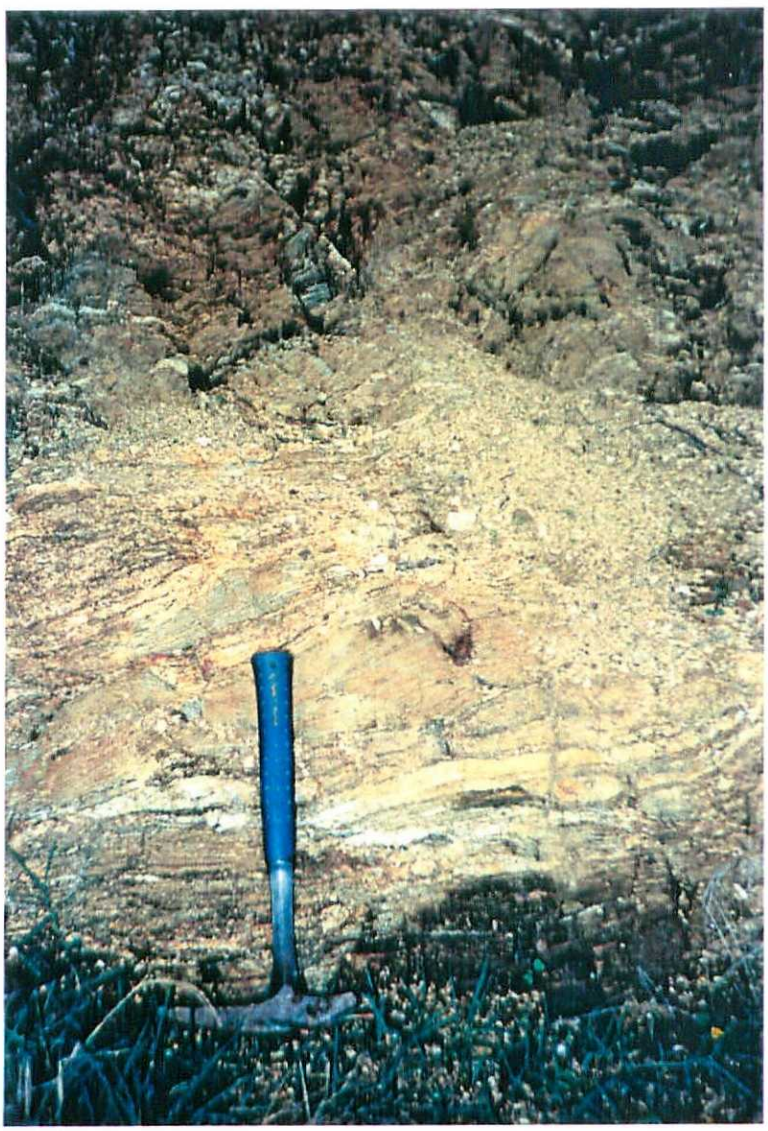
AI-9206.

Detalle de la foto anterior. (Al Este de Candeleda).



AI-9207. *FUERA DE PLANO, PASA A 599-JARAÍZ DE LA VERA

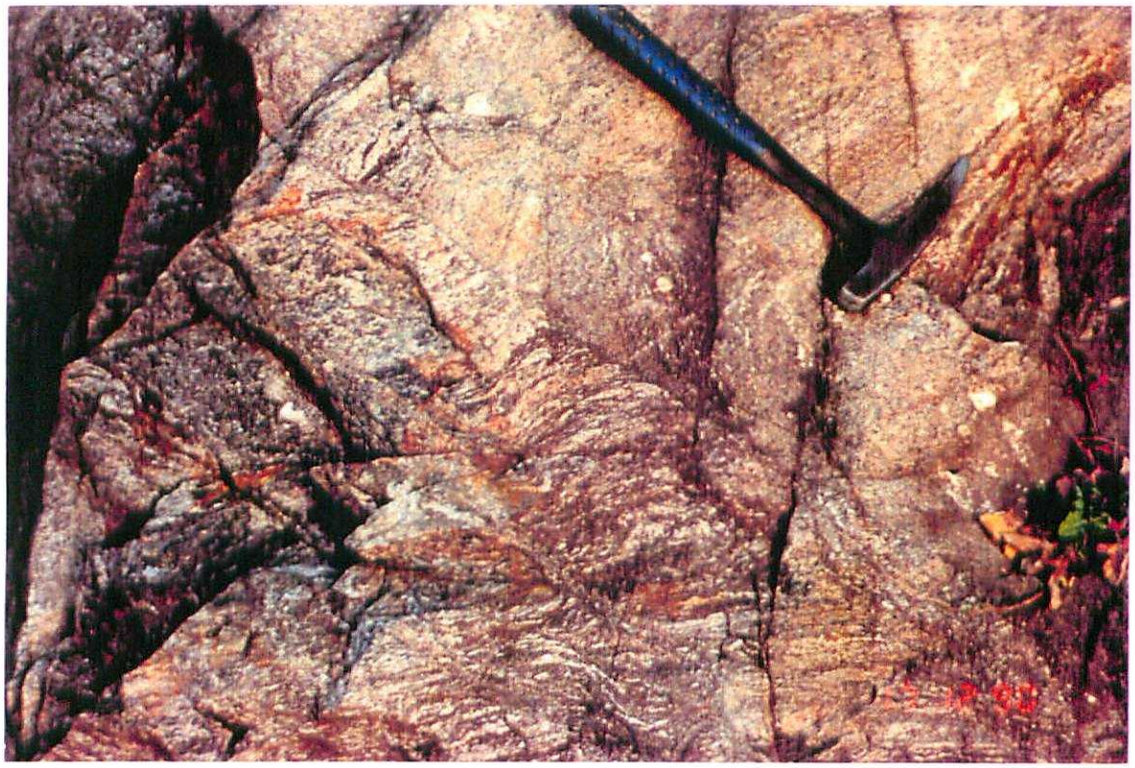
Rocas migmatíticas, paraconcordantes con la foliación del granitoide tipo "Yuste", con biotita-sillimanita residual y neosoma de composición granítica; afectadas, al menos, por una fase de deformación post-S_1.



AI-9208.

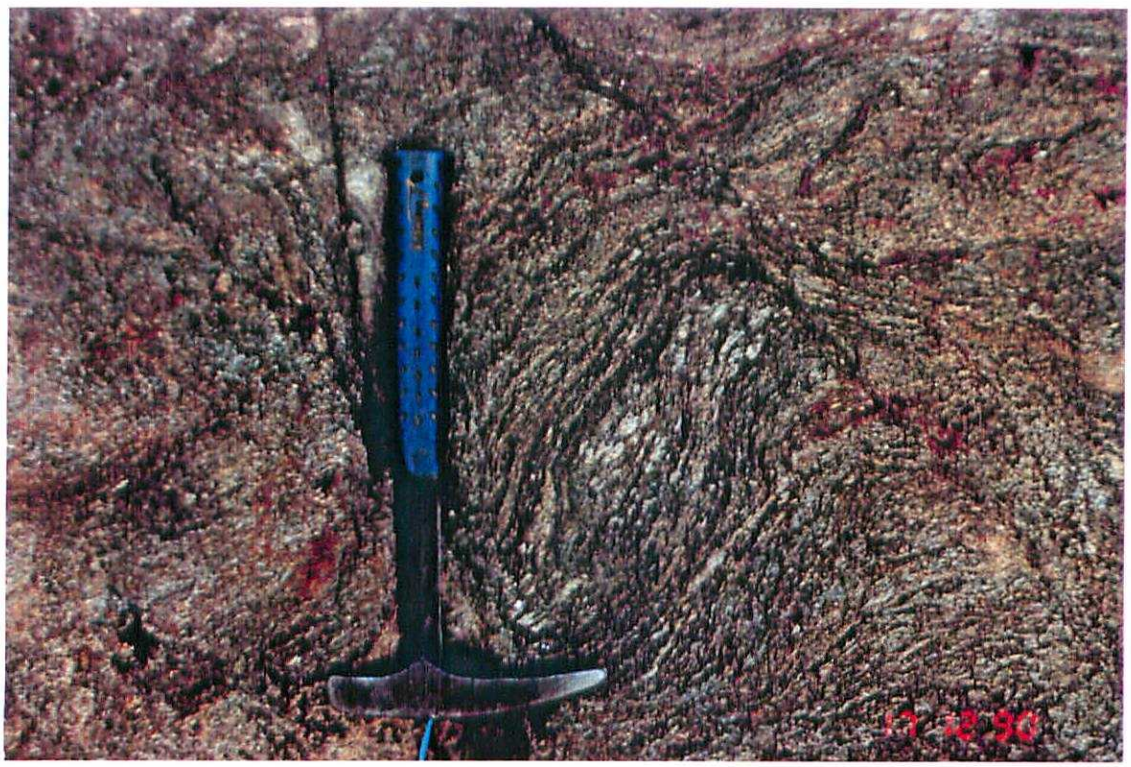
Detalle de la foto anterior. (Al SO de Talaveruela).

*FUERA DE PLANO, PASA A 599-JARAÍZ DE LA VERA



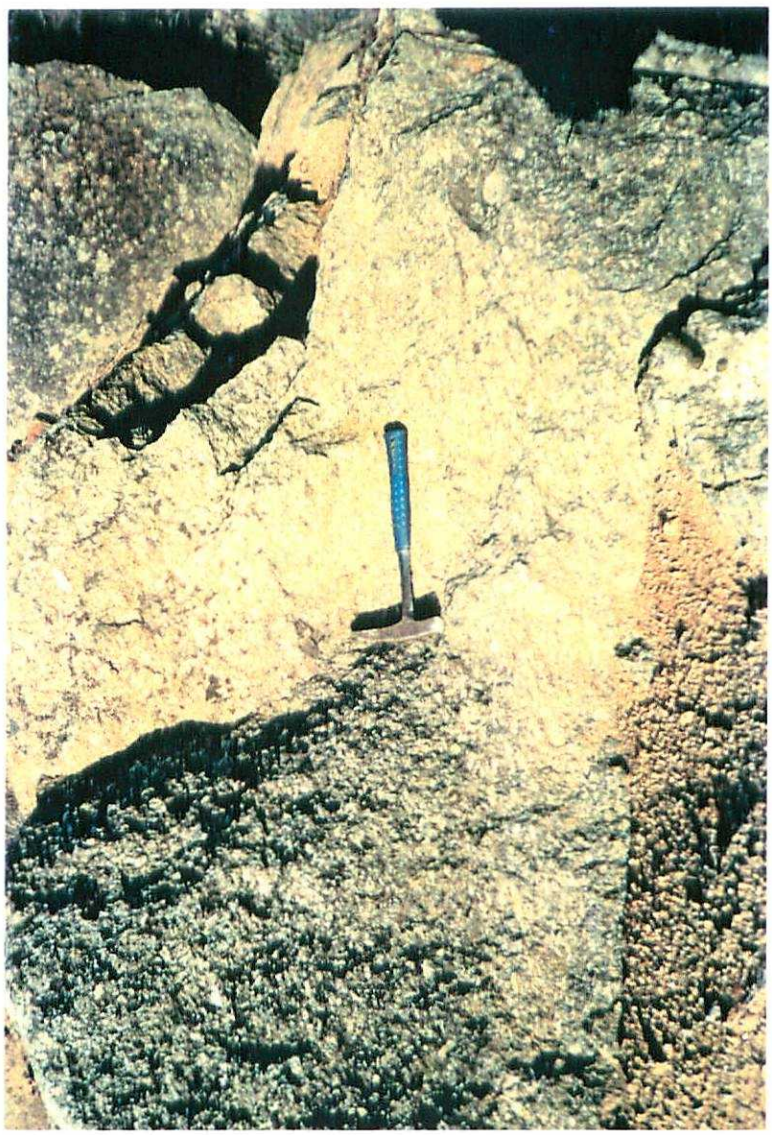
AI-9209.

Foliación en las migmatitas estromáticas de la Garganta de Santa María.



AI-9210.

Detalle de la foto anterior. (Al Norte de Candeleda).



AI-9211.

Estructura o fábrica planar subvertical del monzogranito/granodiorita tipo "Yuste", marcada por los megacristales de feldespato potásico, y superposición de una foliación deformativa. La disposición de estos minerales determina una serie de discontinuidades penetrativas a escala de afloramiento. (Puente sobre el Río Tiétar. Carretera Candeleda-Navalcán).



AI-9212.

Monzogranito/granodiorita tipo "Yuste", mostrando megacristales tabulares de feldespato potásico orientados N-150º-160º-E/70º-80º-E, lo que, unido a las disposiciones bandeadas de micro-schlierens biotíticos y a las de enclaves microgranudos, hace suponer que sean debidas a flujo magmático.



AI-9213.

El mismo granitoide anterior, presentando idéntica fábrica foliada. (Escornochivos. Finca Moracho. Al Sur de Candeleda).



AI-9214.

Parte del mismo afloramiento de la foto anterior.



AI-9215.

Disposición "coronaria" de megacristales automórficos de feldespato potásico en la periferia de un enclave tonalítico.



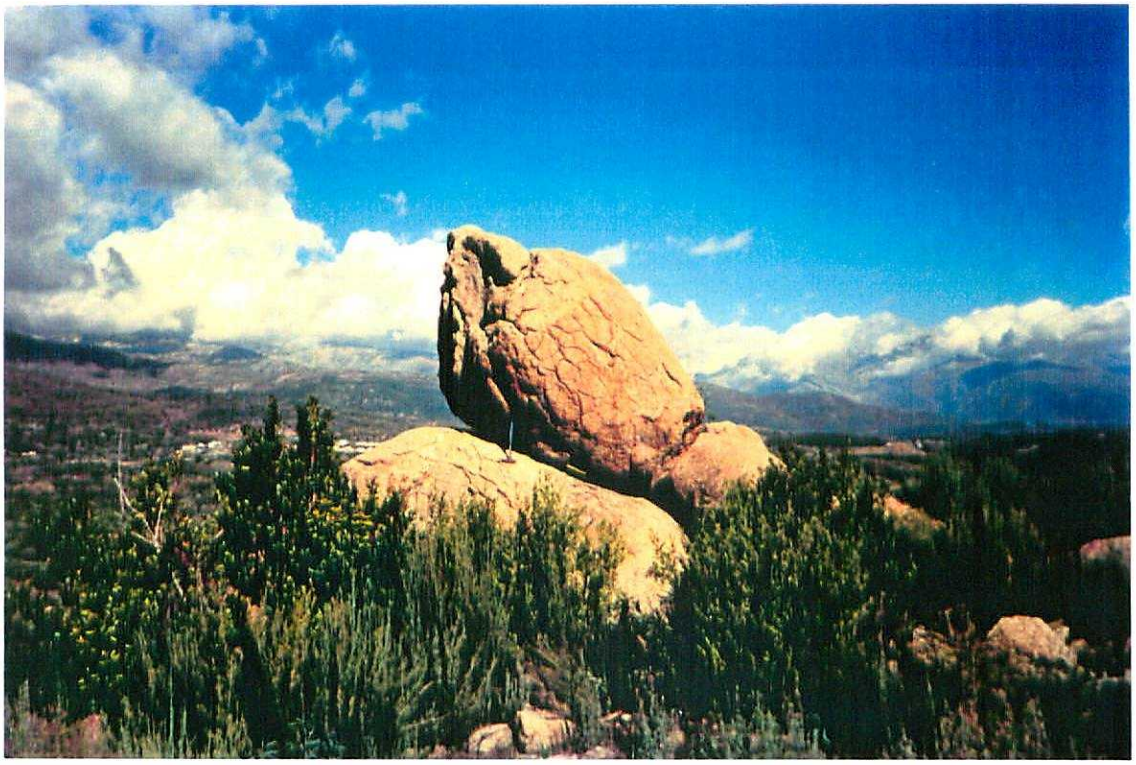
AI-9216.

Cabecera de la Garganta Santa María. Al fondo, la Sierra de Gredos y vertiente - meridional del Pico Almanzor.



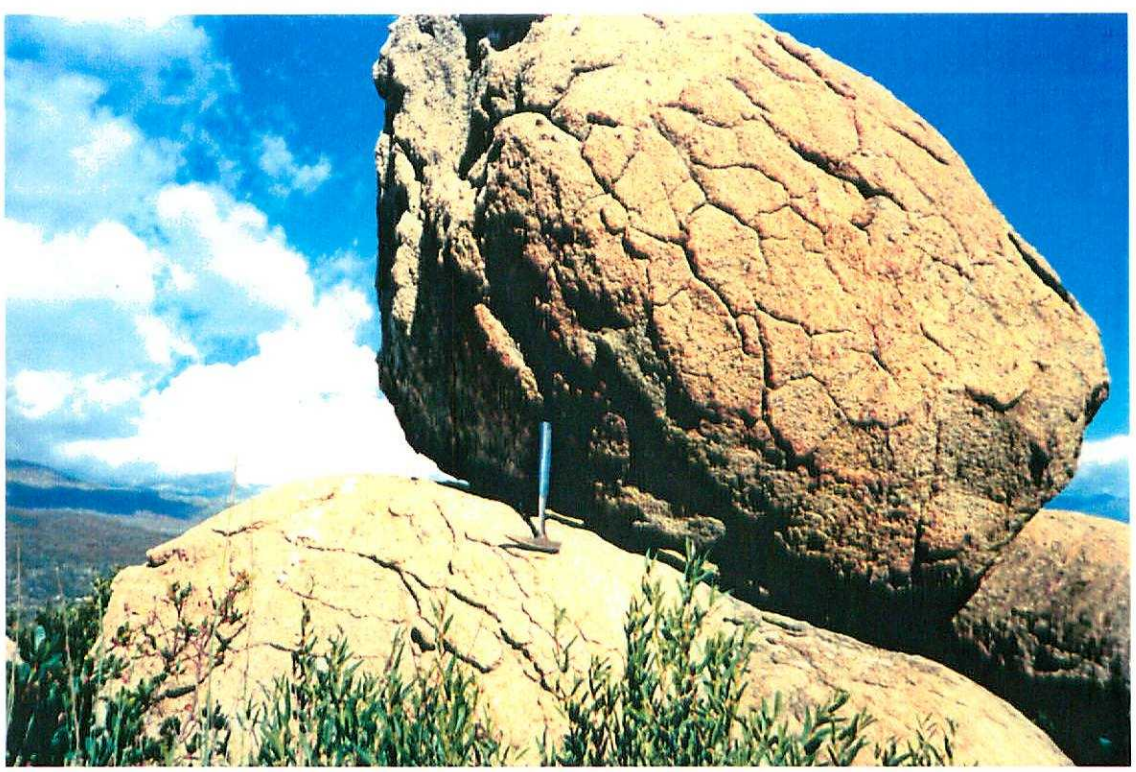
AI-9217.

Típico "lanchar" de granitoides tipo "Yuste", en uno de los bloques hundidos de la Garganta Gualtamino.



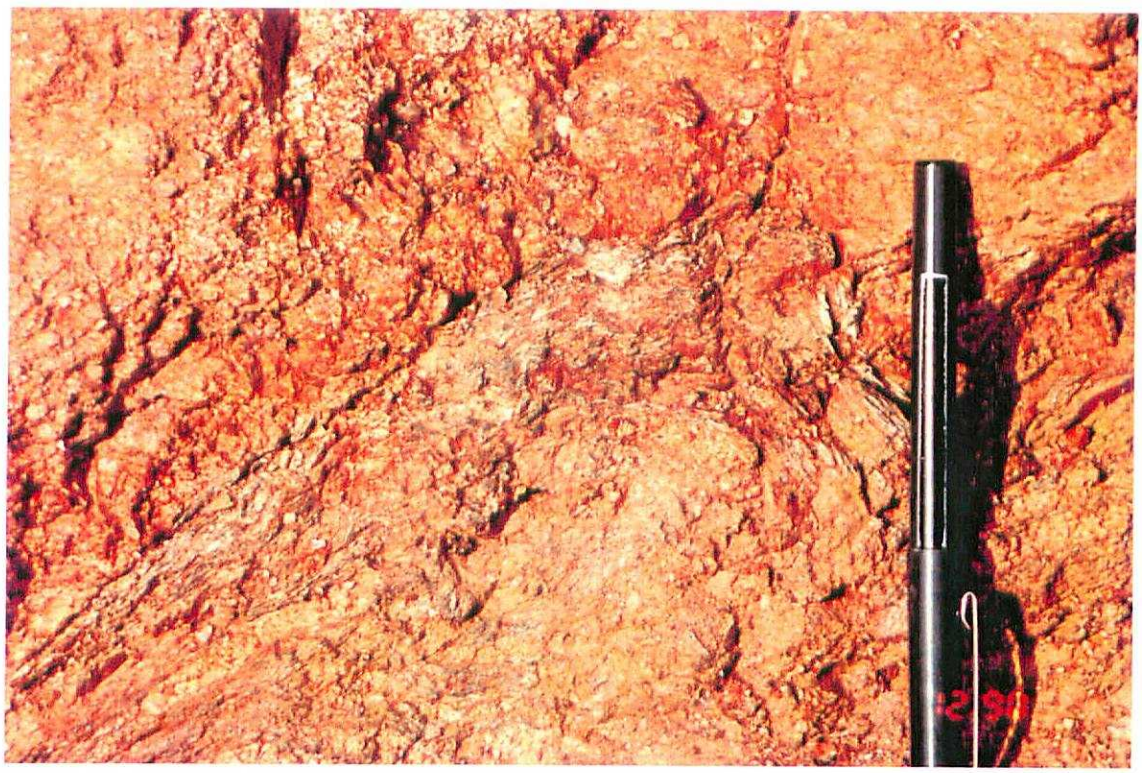
AI-9218.

Disyunción en "bolos" del granitoide tipo "Yuste". (Al Este del "Alto de la Jara" y Norte de "Lancha de Mateo". Sur de Villanueva de la Vera).



AI-9219.

Detalle de la foto anterior. Obsérvese la superficie exterior agrietada, producto de la acción conjunta de alteración y meteorización.



AI-9220.

Cuarzo-esquistos con sillimanita, pizarras y cuarcitas dispuestos en niveles alternantes y replegados. Pertenecen al único afloramiento de la Hoja, atribuible al Ordovícico Inferior. Estas rocas han sido afectadas por metamorfismo regional y metamorfismo de contacto. (Al Este del "Cerro de los Frailes" y Oeste del Embalse de Rosarito).



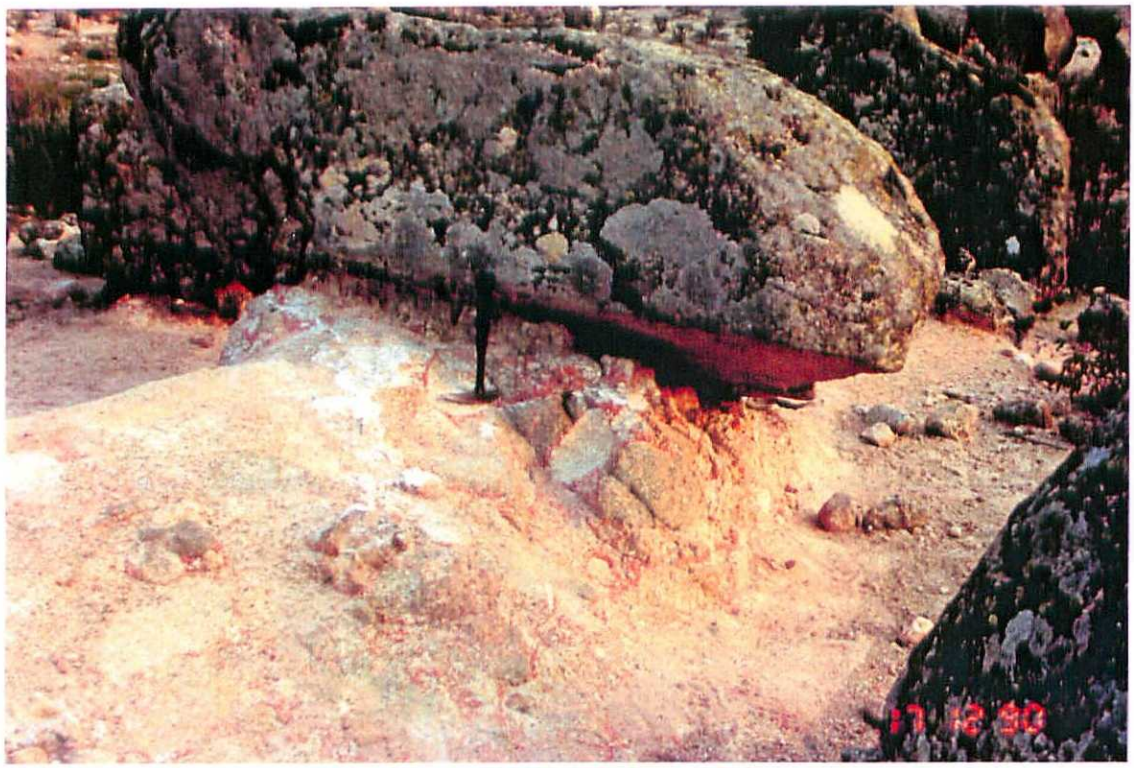
AI-9221.

Panorámica de la Garganta de Chilla, tomada desde el Km 8 de la carretera de Candeleda a Madrigal de la Vera.

1.- Depósitos fluvio-glaciares y gran llanura aluvial de la Garganta de Chilla, presentando cierta continuidad con la dinámica torrencial.

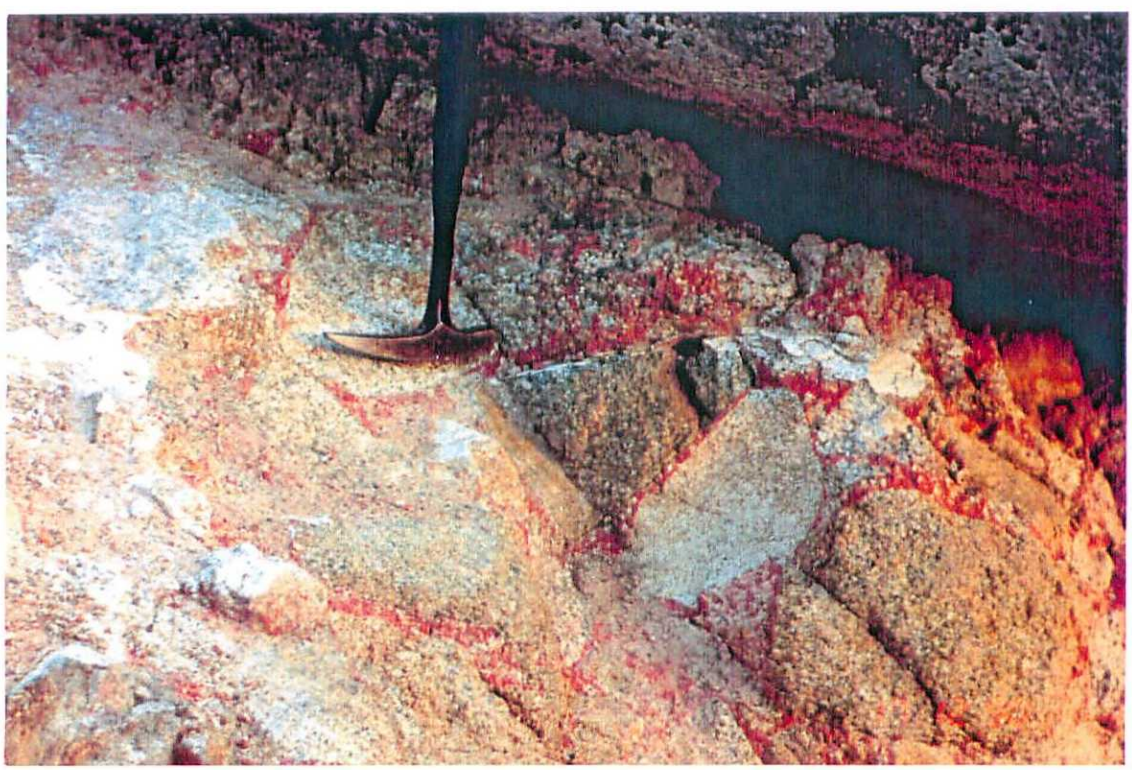
2.- Glacis. Aglomerados de bloques y cantos, empastados en una matriz fundamentalmente gruesa y sin apenas compactación.

3.- Granitoides tipo "Yuste", en la zona de El Raso, con la Sierra de Gredos al fondo.



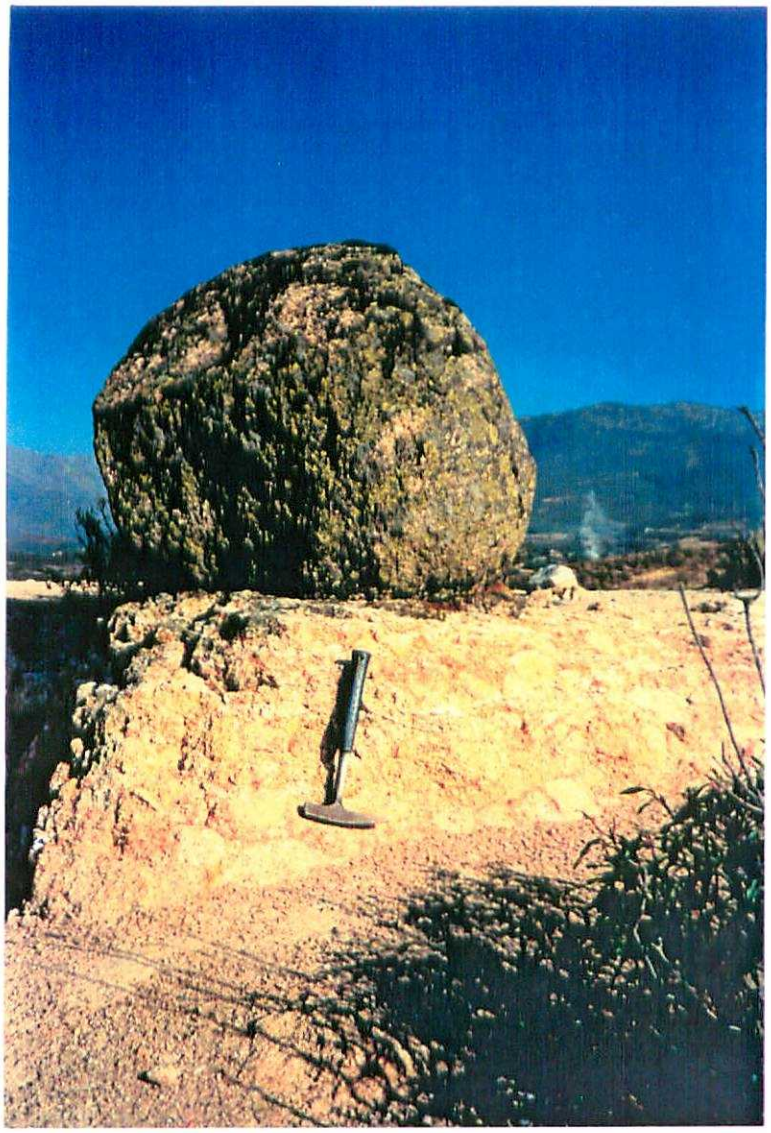
AI-9222.

Glacis situado entre la Garganta de Chilla y el Arroyo de Mingadanga. Se pueden observar bloques graníticos, definibles como angulosos, con tamaños modas de 1 a 1,5 m de eje mayor.



AI-9223.

Detalle de la foto anterior, donde se observa un aglomerado de cantos empastados en una matriz gruesa y sin compactar. Dichos cantos, generalmente graníticos, presentan un índice de redondez mayor que el de los bloques.



AI-9224.

Bloque granítico, aislado y más o menos subredondeado, perteneciente al mismo Glacis de la foto anterior.



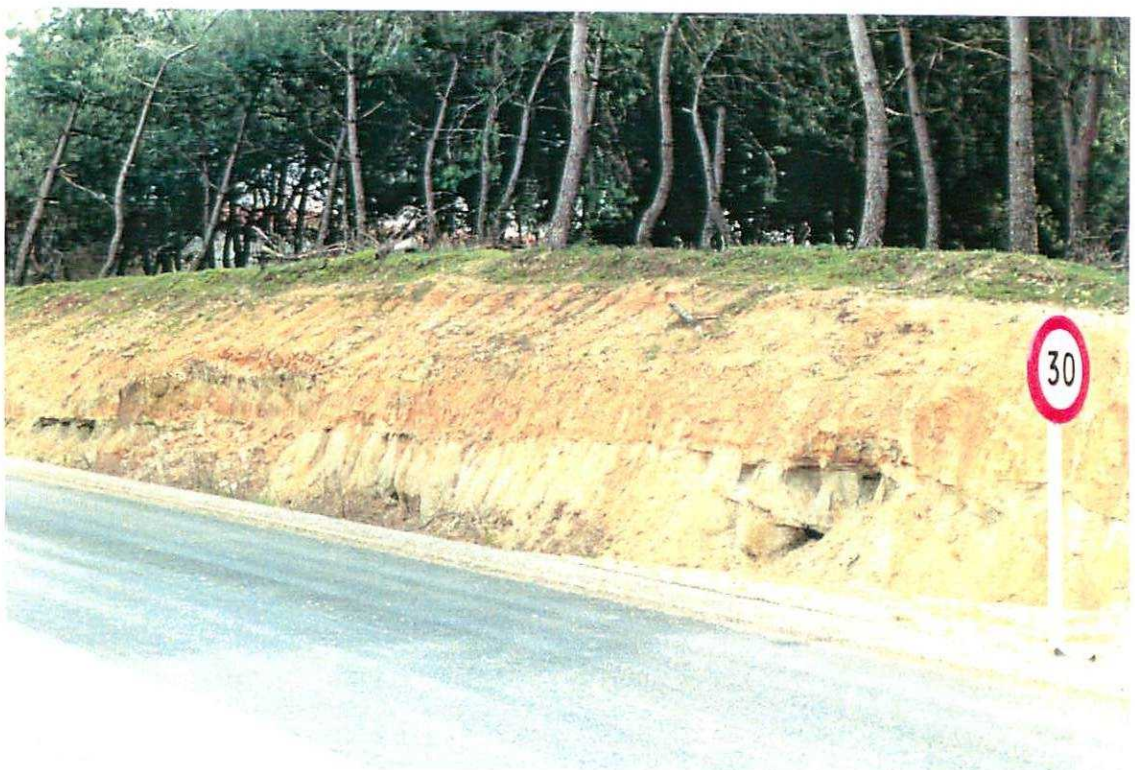
AI-9225.

Detalle de la foto anterior, donde se puede observar una matriz fundamentalmente samítica y cuarzo-feldespática, con curvas de frecuencia polimodales, cuya concentración en materiales finos (pelíticos) no sobrepasa el 7%.



J.N.-9230- Aspecto de los materiales cartografiados como conglomerados, bloques, arenas y arcillas (13, en el Km 8 de la carretera de Candela a Madrigal de la Vera. Puede observarse la gran heterometría de los cloques y la escasa matriz areno-arcillosa.

*SIN UBICACIÓN EN PLANO DE SITUACIÓN DE MUESTRAS, NI EN MCC1.



J.N.9231.- Contacto erosivo entre los niveles arenosos (arcosas)
(Situado al Sur de Barquilla de Pinares).

*SIN UBICACIÓN EN EL PLANO DE SITUACIÓN DE MUESTRAS.
NO HAY MCC1.



JN-9232.- Norte del pantano de Rosarito. Contacto entre granito en zona inferior de la foto y Arcosas (11). Se observa la presencia de un nivel de silcretas (13) intercalado en la serie arcósica.

*SIN UBICACIÓN EN EL PLANO DE SITUACIÓN DE MUESTRAS, NO HAY MCC1.



JN-9233.- Detalle del nivel de silcretas de la foto anterior, donde puede apreciarse que conserva alguna estructura de ordenamiento interno y morfología de canal con base erosiva.

*SIN UBICACIÓN EN EL PLANO DE SITUACIÓN DE MUESTRAS, NI EN MCC1.



JN-9234.- Pantano de Rosarito. Contacto entre el granito (parte superior de la foto) y las silcretas (13), parte inferior.

*SIN UBICACIÓN EN PLANO DE SITUACIÓN DE MUESTRAS. NO HAY MCC1.



JN-9235.- Arroyo de Alcañizo, la terraza presenta una base muy erosiva sobre las arcosas, que en general, tienen aspecto masivo.

*SIN UBICACIÓN EN PLANO DE SITUACIÓN DE MUESTRAS, NO HAY MCC1



JN-9236.- Detalle de la foto anterior.

*SIN UBICACIÓN EN EL PLANO DE SITUACIÓN DE MUESTRAS, NO HAY MCC1.



JN-9237.- Arcosas de aspecto masivo; el encontramiento diagenétco permite observar la "posible" estratificación . A techo depósitos cuaternarios.

*SIN UBICACIÓN EN EL PLANO DE SITUACIÓN DE MUESTRAS. NO HAY MCC1.